

生体信号推定装置

九州工業大学大学院工学研究院

機械知能工学研究系知能制御工学部門

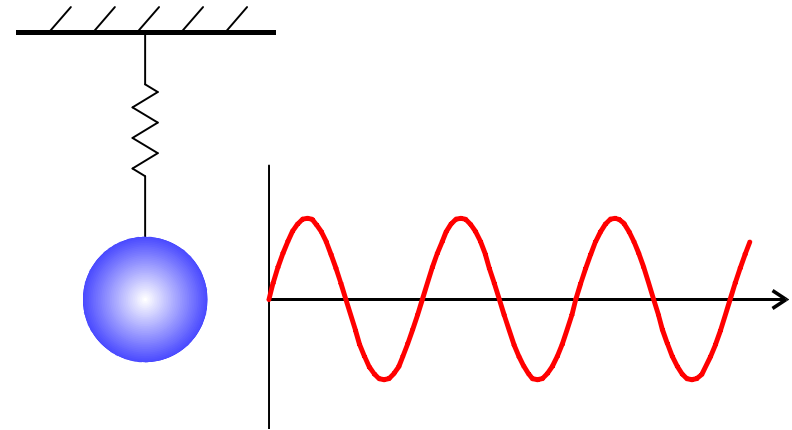
助教 新田 益大

生体信号の推定

- 生体信号とは
 - 脳波・筋電・脈拍 etc
 - 時間軸よりも周波数での解析が有効
- 生体信号推定における問題
 - 生体信号は比較的低周波の信号
 - 微弱な電氣的活動のため雑音の影響大

高速・高精度な周波数推定

- 周波数推定
 - 振動現象の解析
 - 高速かつ高精度な推定
 - 離散時間信号からの推定
- 従来研究
 - 適応ノッチフィルタ, 拡張Kalmanフィルタ, etc...
 - Fourier変換
 - 広く利用されている推定法
 - 離散時間信号から推定可能(**FFT: 高速Fourier変換**)
 - 推定精度を上げるには多くのデータが必要

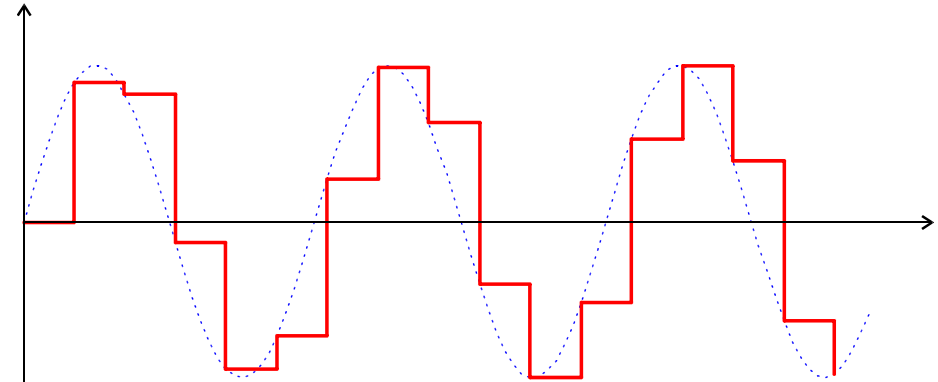


本技術が解決する課題

- FFTの問題

- 分析精度が悪い

- 分析データ点数 D
- サンプル周波数 F_s



- 分析精度(周波数分解能)の向上

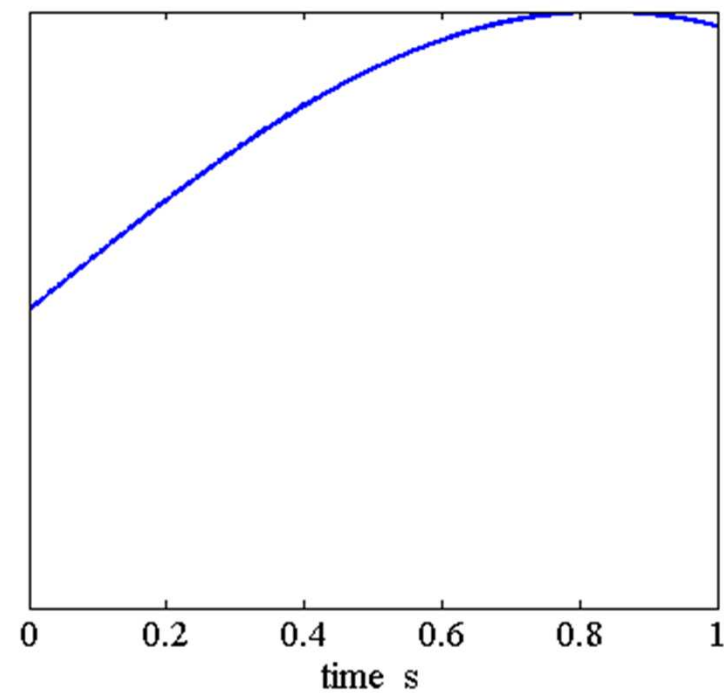
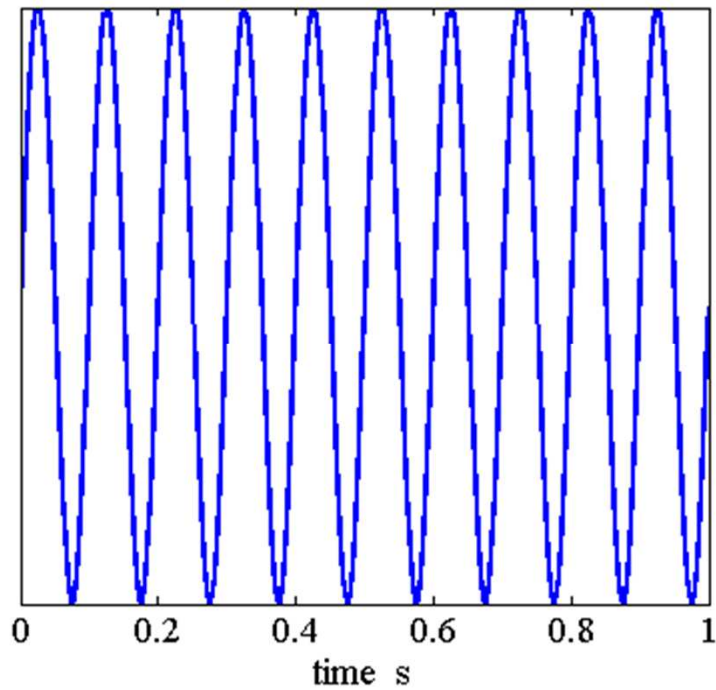
- サンプル周波数 F_s を向上させても効果なし

- 分析データ点数 D を増やす必要がある

- 処理に時間がかかる ➡ 高速・高精度で分析

高周波と低周波

- 周波数 = 1秒当たりの波の数



周波数推定のご概念(1)

- 初等物理の質量・バネ系は単振動となる.

$$x(t) = X \sin(\omega t + \phi)$$



- ω [rad/s]は角周波数と呼ばれ, 周波数 f [Hz]との関係は $\omega = 2\pi f$ であるから ω と f の推定は同値である.

周波数推定 of 概念 (2)

- さて $x(t)$ の2階微分を計算すると

$$\frac{d^2 x(t)}{dt^2} = \ddot{x}(t) = -\omega^2 X \sin(\omega t + \phi) = -\omega^2 x(t)$$

となる.

- よって最も単純なonline周波数推定法はつぎの通りである.

$$\omega = \sqrt{-\frac{\ddot{x}(t)}{x(t)}}$$

$$\omega^2 = -\frac{\ddot{x}(t)}{x(t)}$$

以後,
これを用いる

微分の問題点

- 原理的には $\omega^2 = -\frac{\ddot{x}(t)}{x(t)}$ で周波数推定可能.
- 実際に、観測信号 $x(t)$ の微分を求めるには
 - 信号 $x(t)$ は滑らか ← 実際にはノイズが含まれる
 - 微分は定義上、未来の信号が必要 ← 実現不可

$$\dot{x}(t) = \frac{dx(t)}{dt} = \lim_{h \rightarrow 0} \frac{x(t+h) - x(t)}{h}$$

- コンピュータで微分は後退差分で近似 ← 誤差
- 上式に基づく推定は机上の空論！

微分から積分へ

$$(x\phi)' = x'\phi + x\phi'$$

- 部分積分を応用
- 適当な関数 $\phi(t)$ を掛けて積分すると

$$\int \dot{x}(t)\phi(t) dt = \underline{x(t)\phi(t)} - \int x(t)\dot{\phi}(t) dt$$

$$\int \ddot{x}(t)\phi(t) dt = \underline{\dot{x}(t)\phi(t) - x(t)\dot{\phi}(t)} + \int x(t)\ddot{\phi}(t) dt$$

- 赤下線の部分が '0' になれば $\ddot{x}(t)$ が $\ddot{\phi}(t)$ に置き換わる ➡ 微分可能に！

超関数の概念の導入

- テスト関数 $\phi(t)$

- コンパクトな台をもつ C^∞ 級関数の集合 $\mathcal{D} = \mathcal{D}(\Omega)$

- $\phi(t) \in \mathcal{D}$ は超関数 $f(t)$ に対して次式を満たす.

$$\int_{\Omega} \frac{d^n f(t)}{dt^n} \phi(t) dt = (-1)^{|n|} \int_{\Omega} f(t) \frac{d^n \phi(t)}{dt^n} dt$$

- よって空集合でない開集合 $\Omega = (\Omega_a, \Omega_b)$ に対して

$$\lim_{t \downarrow \Omega_a} \frac{d^k \phi(t)}{dt^k} = 0, \quad \lim_{t \uparrow \Omega_b} \frac{d^k \phi(t)}{dt^k} = 0, \quad (k = 0, 1, \dots)$$

が成立する.

部分積分再考

- $x(t)$ を超関数とみなす.
- テスト関数 $\phi(t) = \mathcal{D}(\mathbb{R})$ とすると

$$\lim_{t \rightarrow \pm\infty} \frac{d^k \phi(t)}{dt^k} = 0, \quad (k = 0, 1, \dots)$$

が成立するため, 次式が成立する.

$$\int_{-\infty}^{\infty} \ddot{x}(t) \phi(t) dt = \int_{-\infty}^{\infty} x(t) \ddot{\phi}(t) dt$$

超関数の概念を用いると信号の微分が可能に

DFEによる周波数推定(1)

T_s : サンプルング周期

N : データ点数

- DFEの適用時間 $T = NT_s$ 秒

➤ 積分区間 $(-\infty, \infty)$ から $[0, T]$ へ

➤ テスト関数

$$\left| \lim_{t \rightarrow 0} \frac{d^k \phi(t)}{dt^k} \right| < \epsilon, \quad \left| \lim_{t \rightarrow T} \frac{d^k \phi(t)}{dt^k} \right| < \epsilon \quad \epsilon : \text{微小数}$$

◆ $\phi(t)$ の拡大・縮小: $\phi(\alpha t)$

◆ $\phi(t)$ の時間平行移動: $\phi(t - \tau)$

➤ テスト関数の候補: Gauss関数

$$\phi(t) = \frac{1}{\sqrt{2\pi}\sigma} \exp\left(-\frac{(t - \mu)^2}{\sigma^2}\right), \quad \mu = \frac{T}{2}, \quad \sigma = \frac{\mu}{8}$$

DFEによる周波数推定(2)

- DFEのアルゴリズム

$$\omega^2 = -\frac{\ddot{x}(t)}{x(t)} = -\frac{\int_{-\infty}^{\infty} x(t)\ddot{\phi}(t) dt}{\int_{-\infty}^{\infty} x(t)\phi(t) dt}$$

理論解析より
 $N > 20$

$$\approx -\frac{\int_0^T x(t)\ddot{\phi}(t) dt}{\int_0^T x(t)\phi(t) dt} \approx -\frac{\sum_{i=0}^{N-1} x(iT_s)\ddot{\phi}(iT_s)}{\sum_{i=0}^{N-1} x(iT_s)\phi(iT_s)}$$

DFEの実装形態

- DFEのアルゴリズム：実数の積和演算のみ

$$\omega^2 = - \sum_{k=0}^M x(kT_s) \ddot{\phi}(kT_s) \bigg/ \sum_{k=0}^M x(kT_s) \phi(kT_s)$$

- テスト関数


- C^3 級関数で次式を満たす任意関数

$$|\phi(0)| = |\dot{\phi}(0)| = |\ddot{\phi}(0)| = |\phi(T)| = |\dot{\phi}(T)| = |\ddot{\phi}(T)| < \epsilon$$

- Gauss関数の場合, 解析結果より,

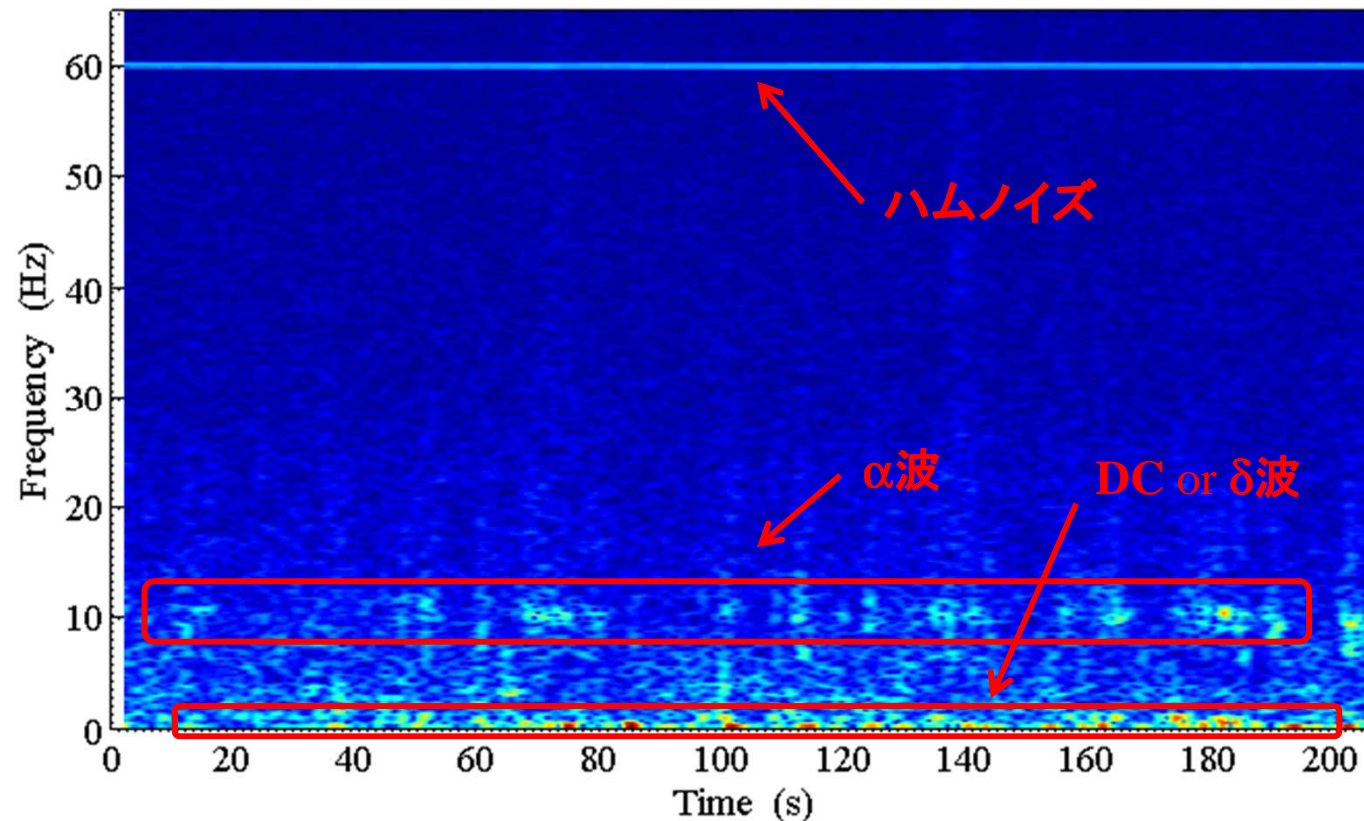
データ点数 $N > 20$ で周波数分解能 10^{-5} [Hz]以下

生体信号への適用例

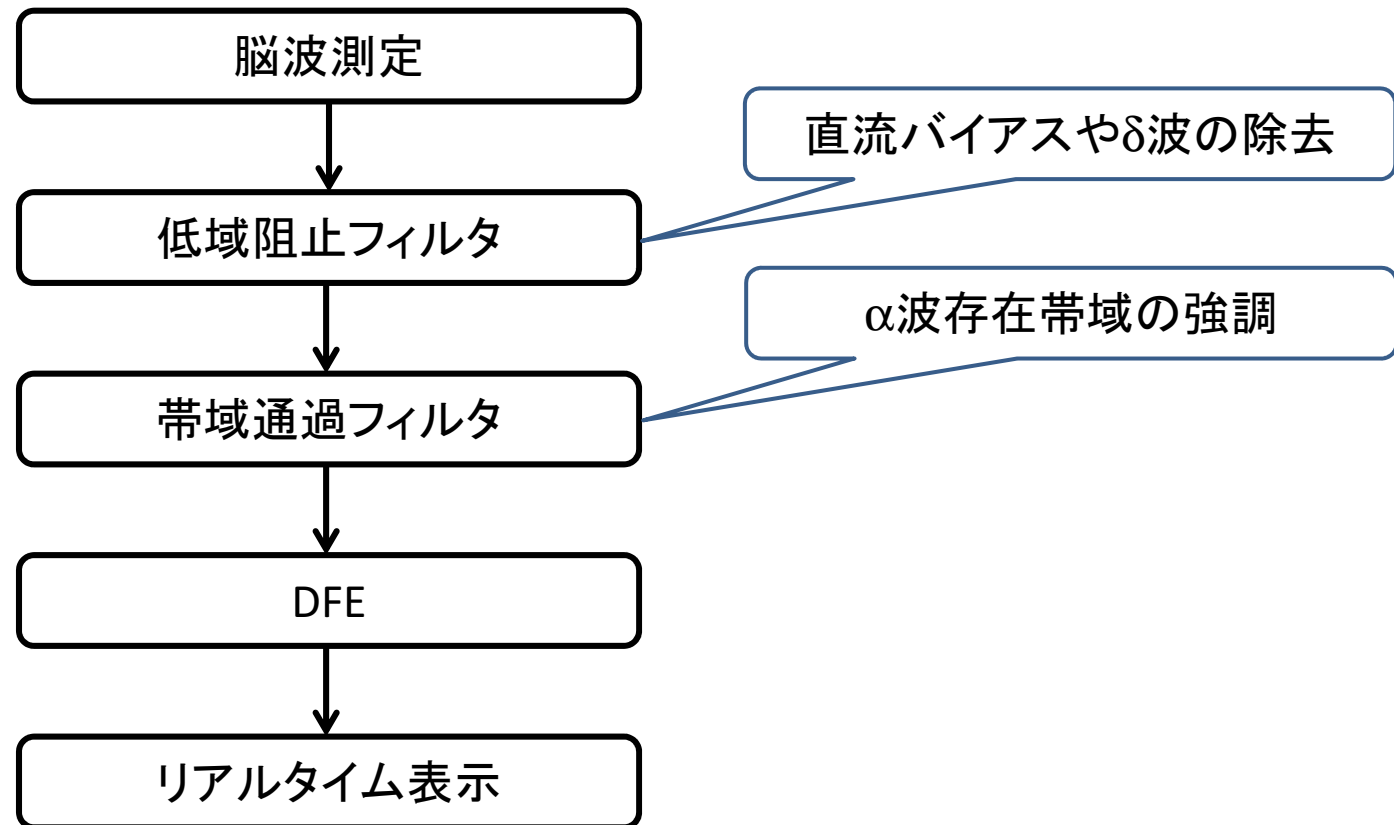
- 脳波のリアルタイム診断(α 波の検出)
 8~13[Hz]
- 実験条件
 - 覚醒維持検査を実施・・・
 - 暗室において覚醒状態を維持するように指示する.
 - 被験者は徐々にリラックス状態に移行し α 波が出現する.
 - 計測電極貼付位置:C4(右中心部)
 - 基準電極貼付位置:右耳
 - サンプリング周波数:500[Hz]

脳波の時間周波数解析結果

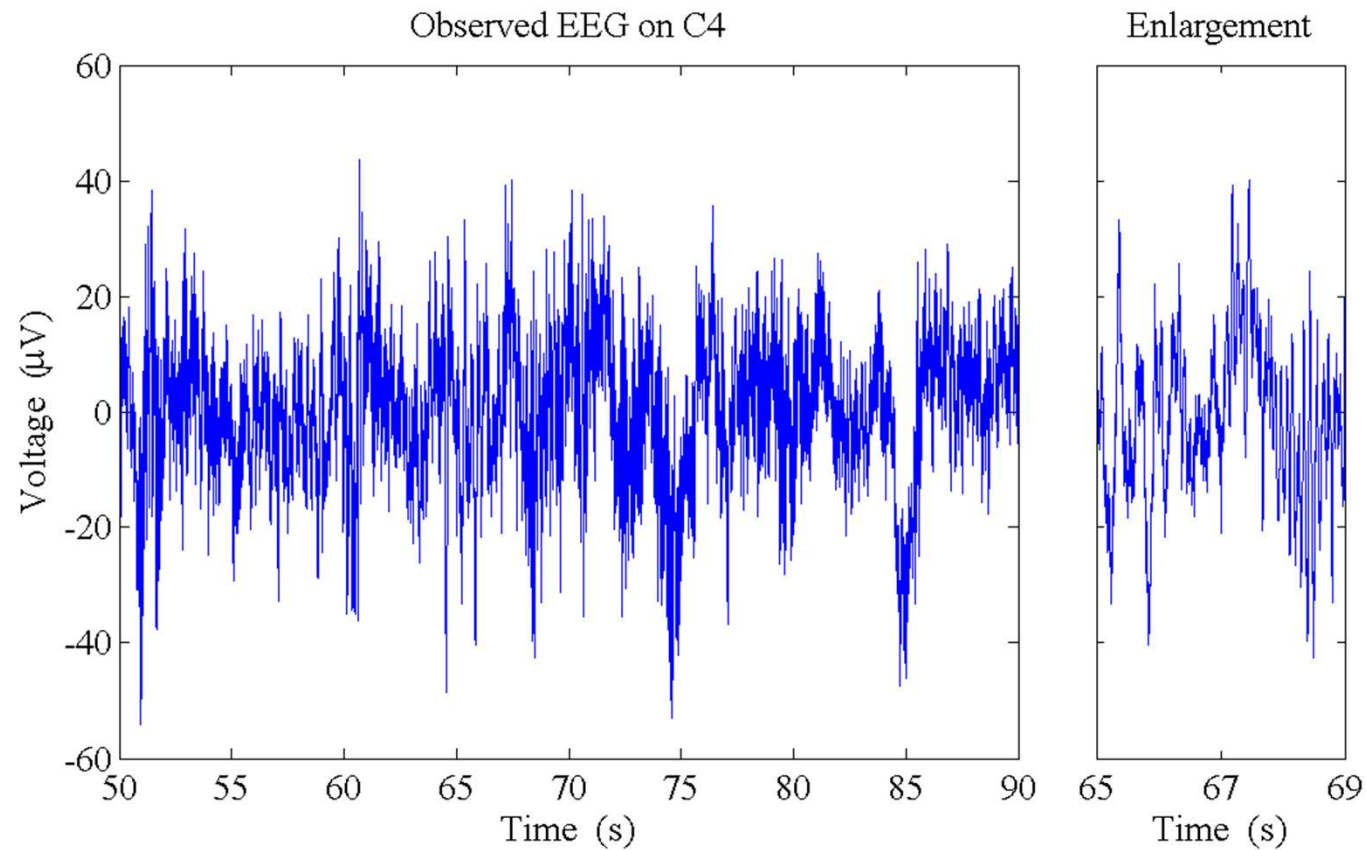
- 電極間にハムノイズ(交流雑音)が重畳
- 0[Hz]付近にも直流バイアスもしくは δ 波が混入



DFE適用までの流れ(1)

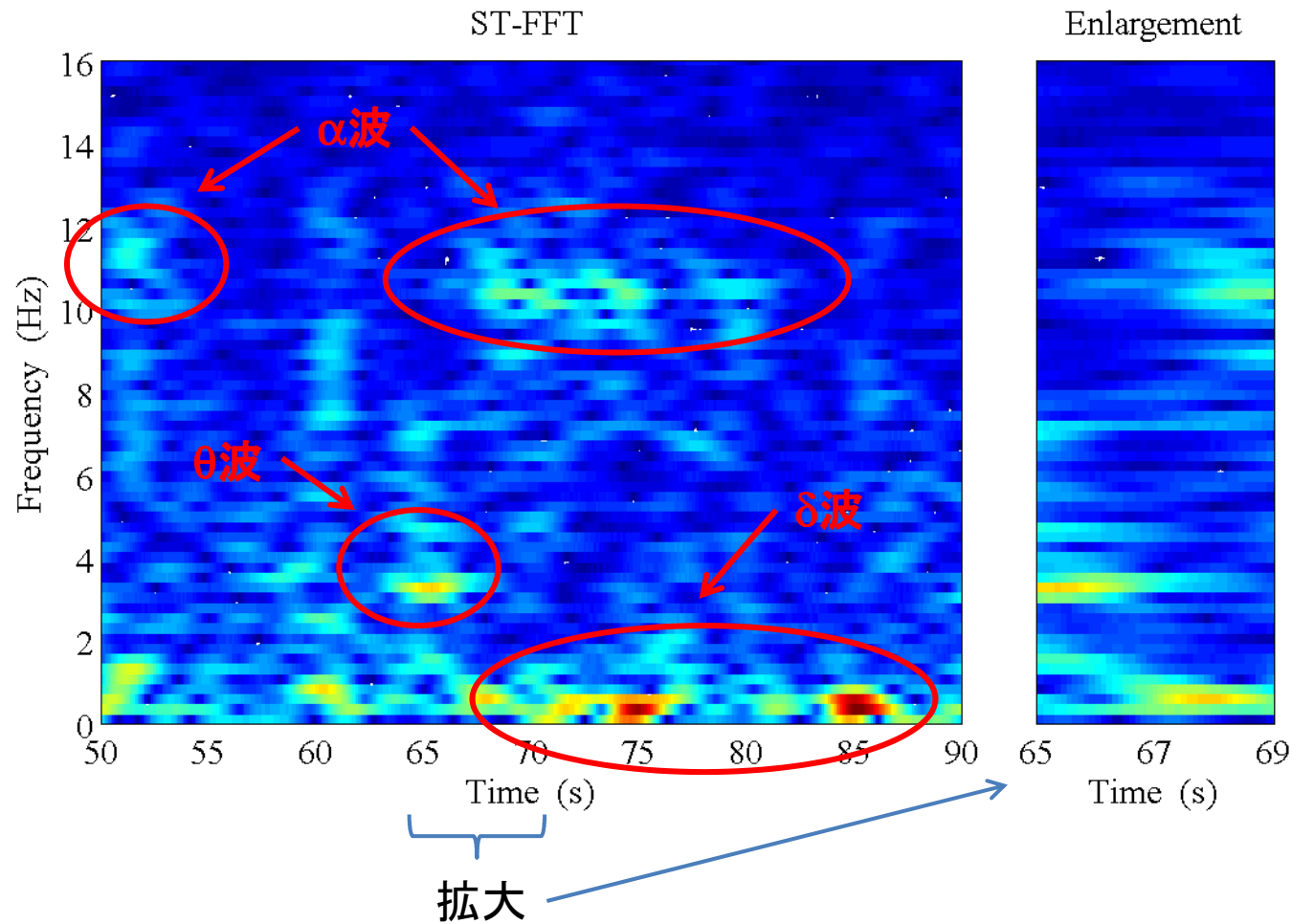


脳波原波形



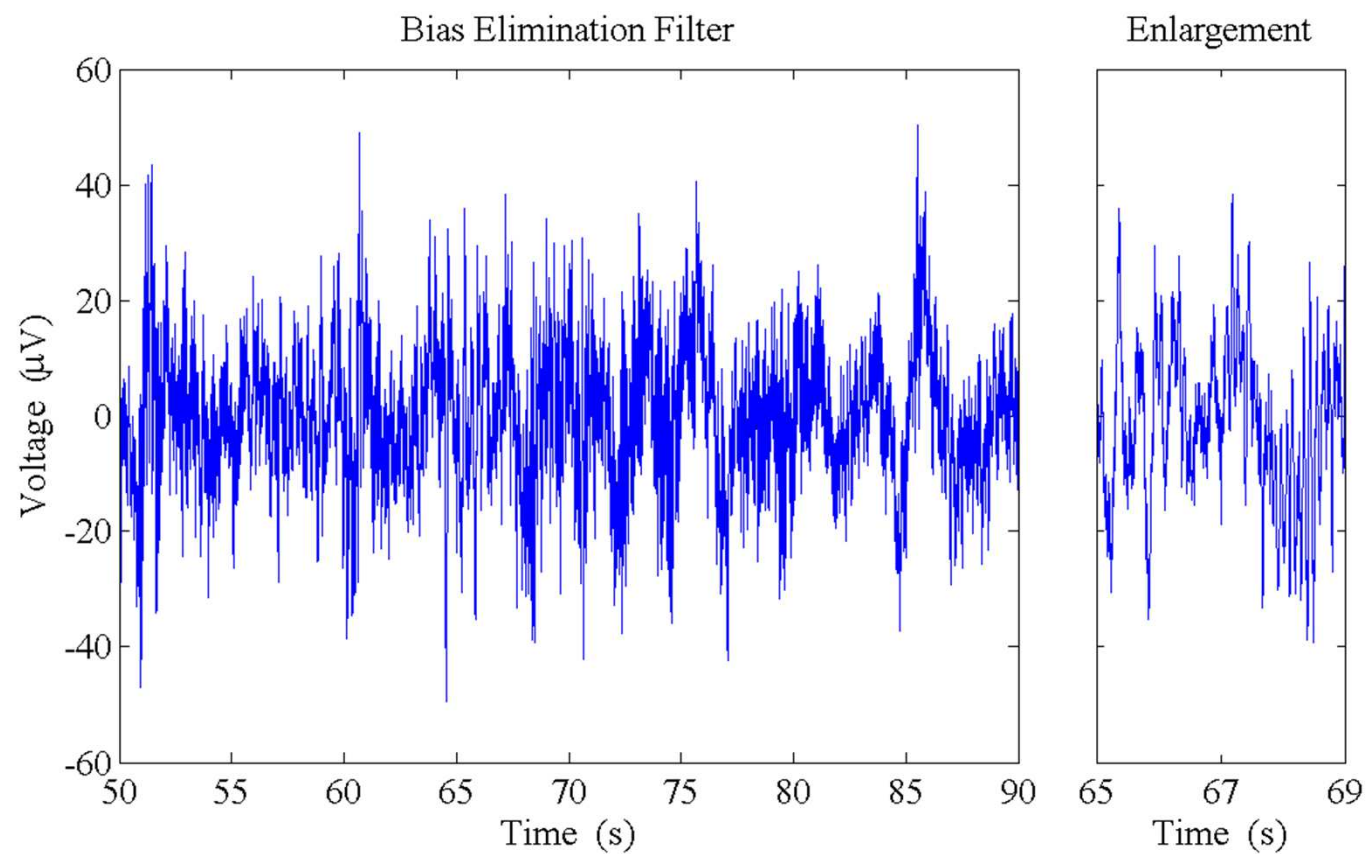
雑音に埋もれており、そのままでの周波数推定は困難

従来法：短時間フーリエ変換



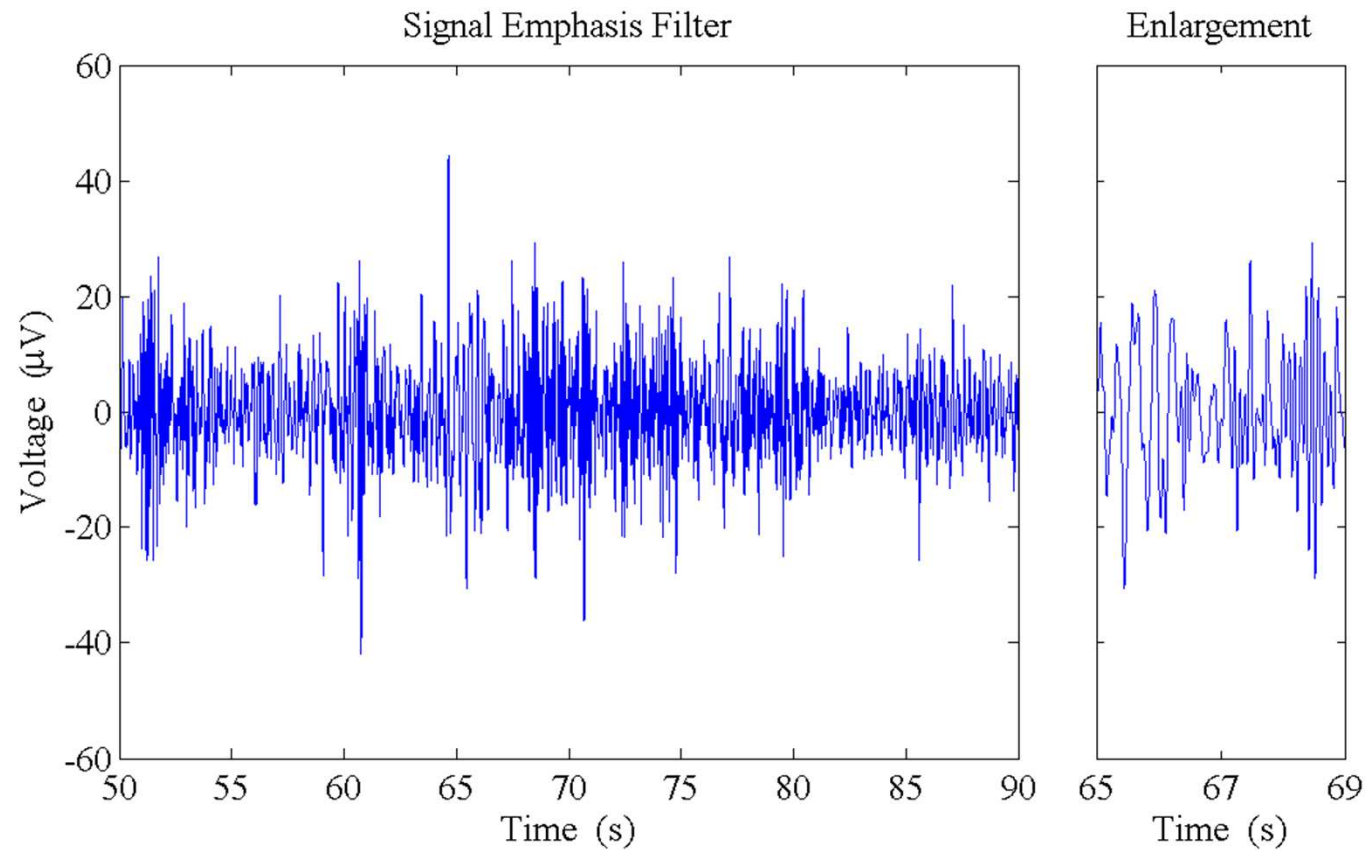
2048点の短時間フーリエ変換例：周波数分解能0.2441[Hz]，時間分解能：0.096[s]

低域阻止フィルタの適用



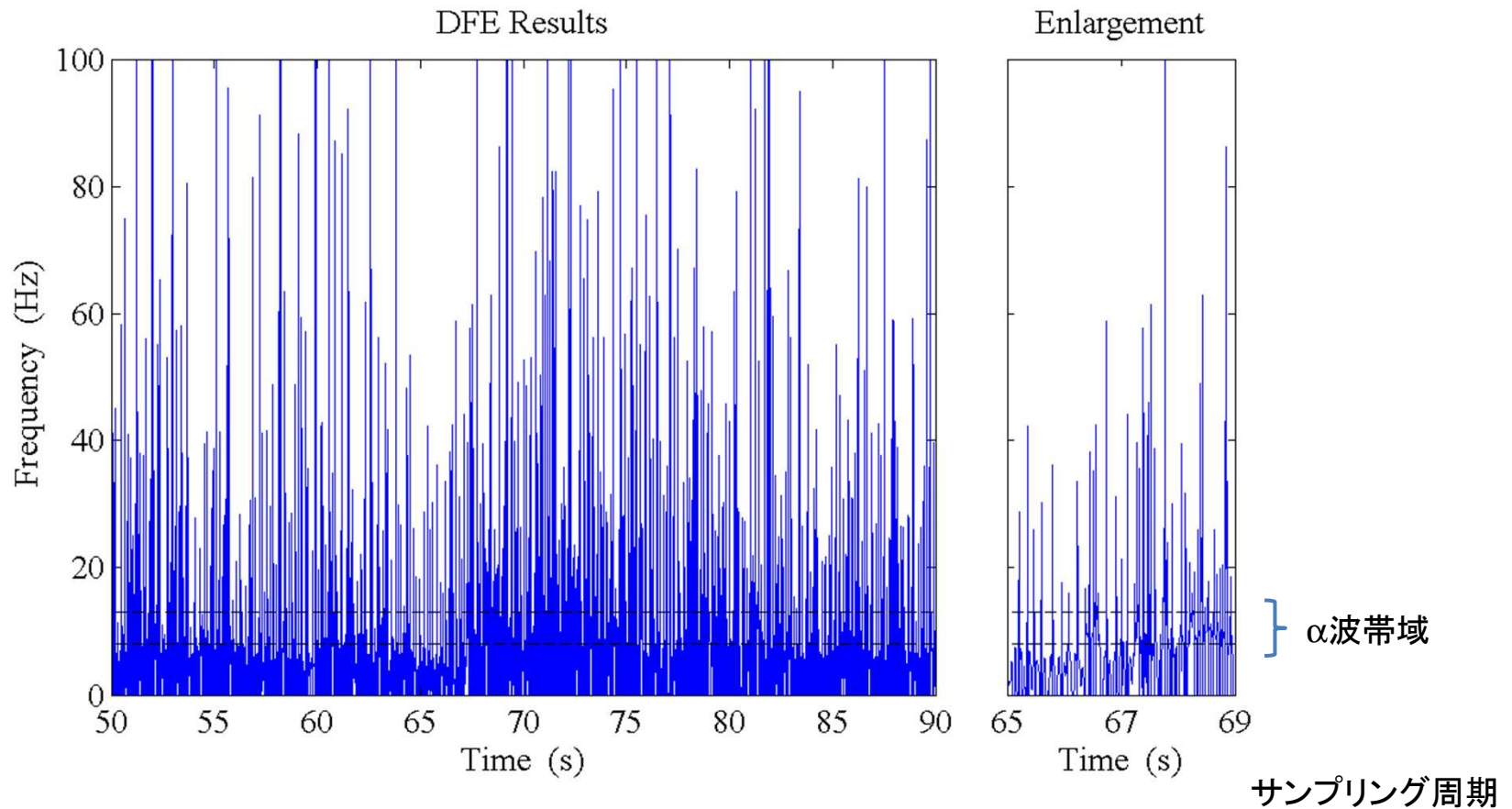
ハムノイズが除去されておらず、周波数推定は困難

帯域通過フィルタの適用



ハムノイズが除去され、熟練者ならば拡大波形から推定可能か？

DFEの適用

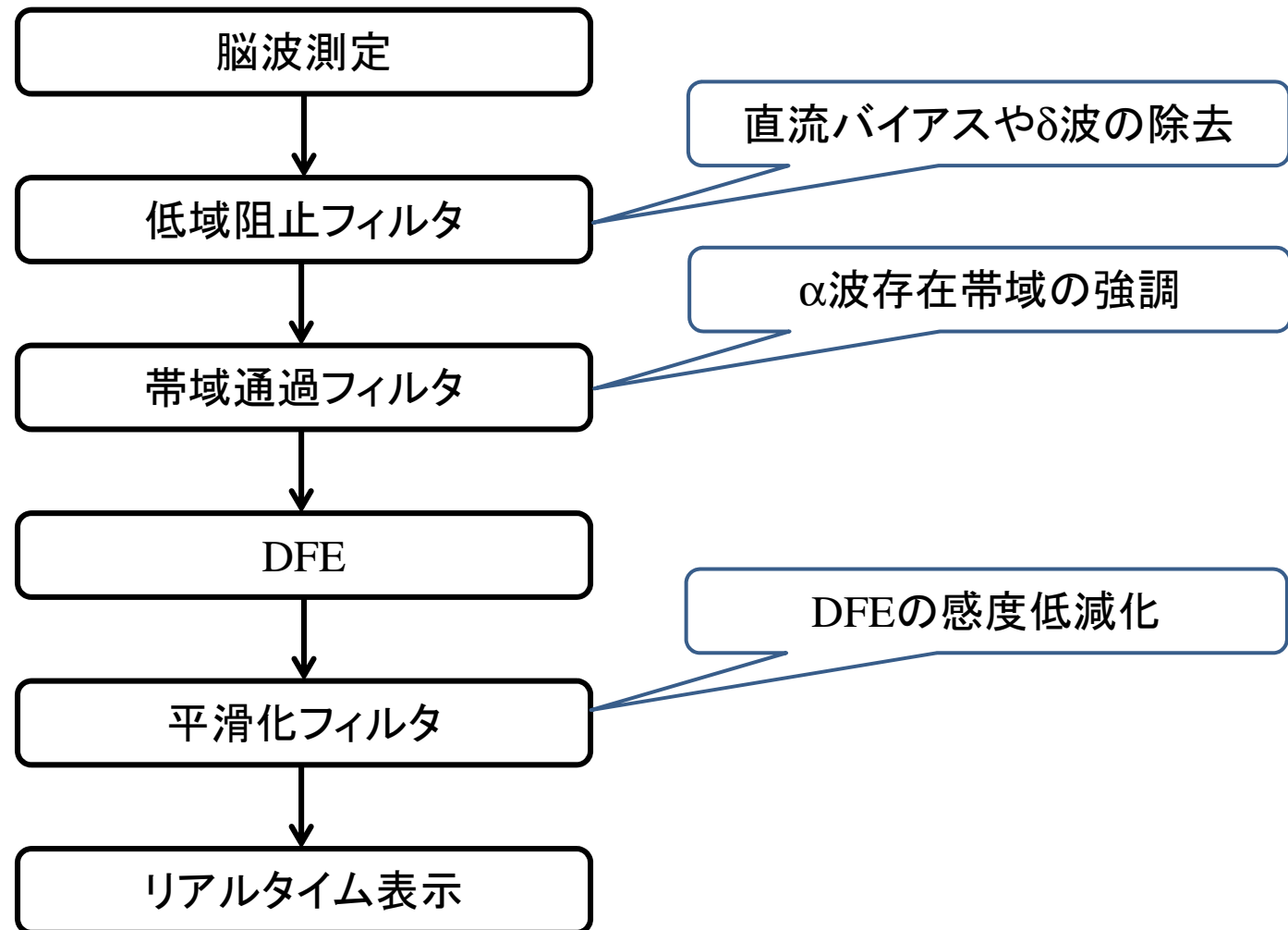


DFEの適用結果: データ点数80点, 縦軸が周波数であることに注意

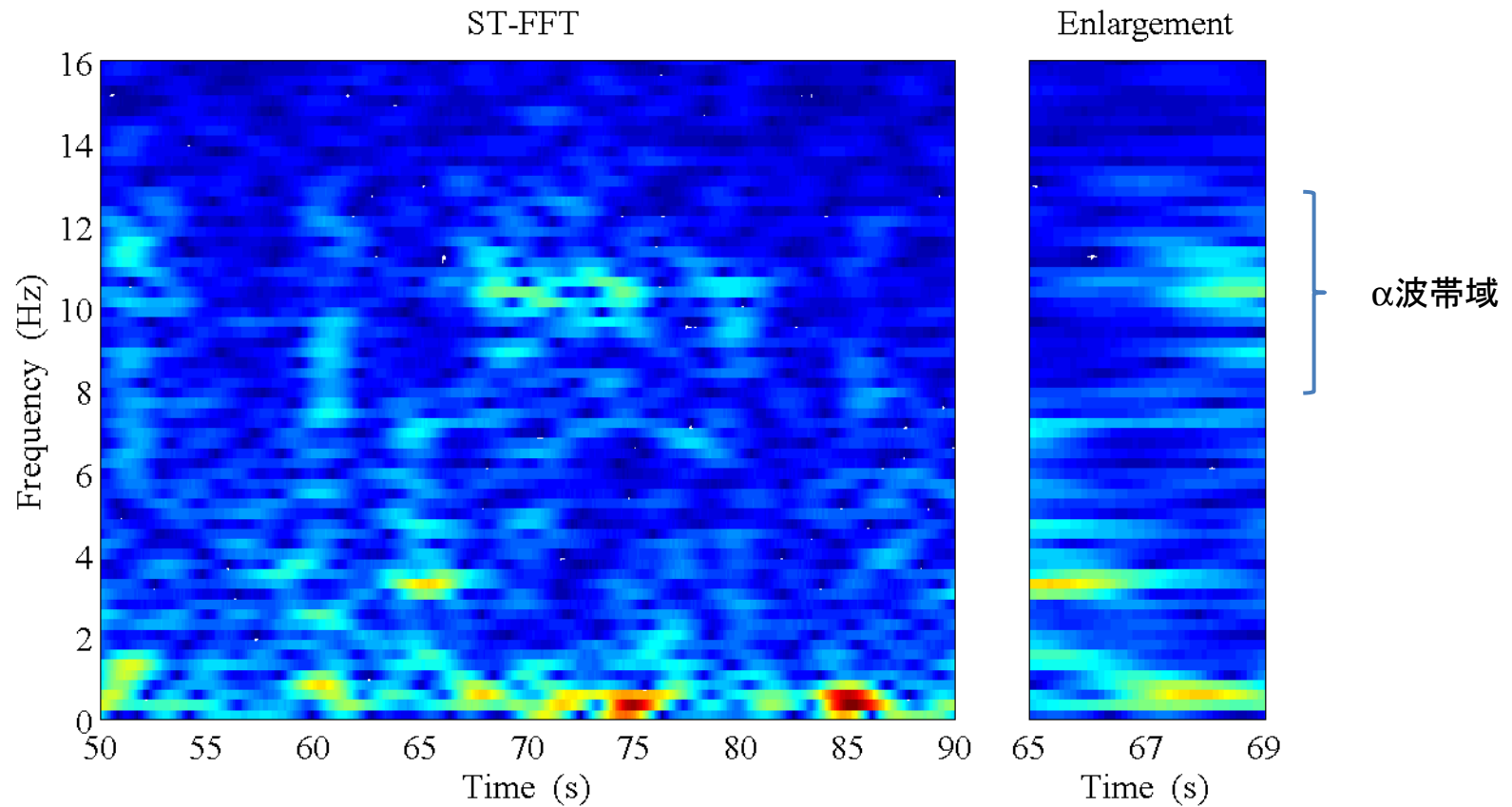
周波数分解能 $0.00001[\text{Hz}]$ 以下, 時間分解能 $0.002[\text{s}]$

DFEは感度が高く, 残存ノイズの影響を受けて推定値がスパイク状となる

DFE適用までの流れ(2)

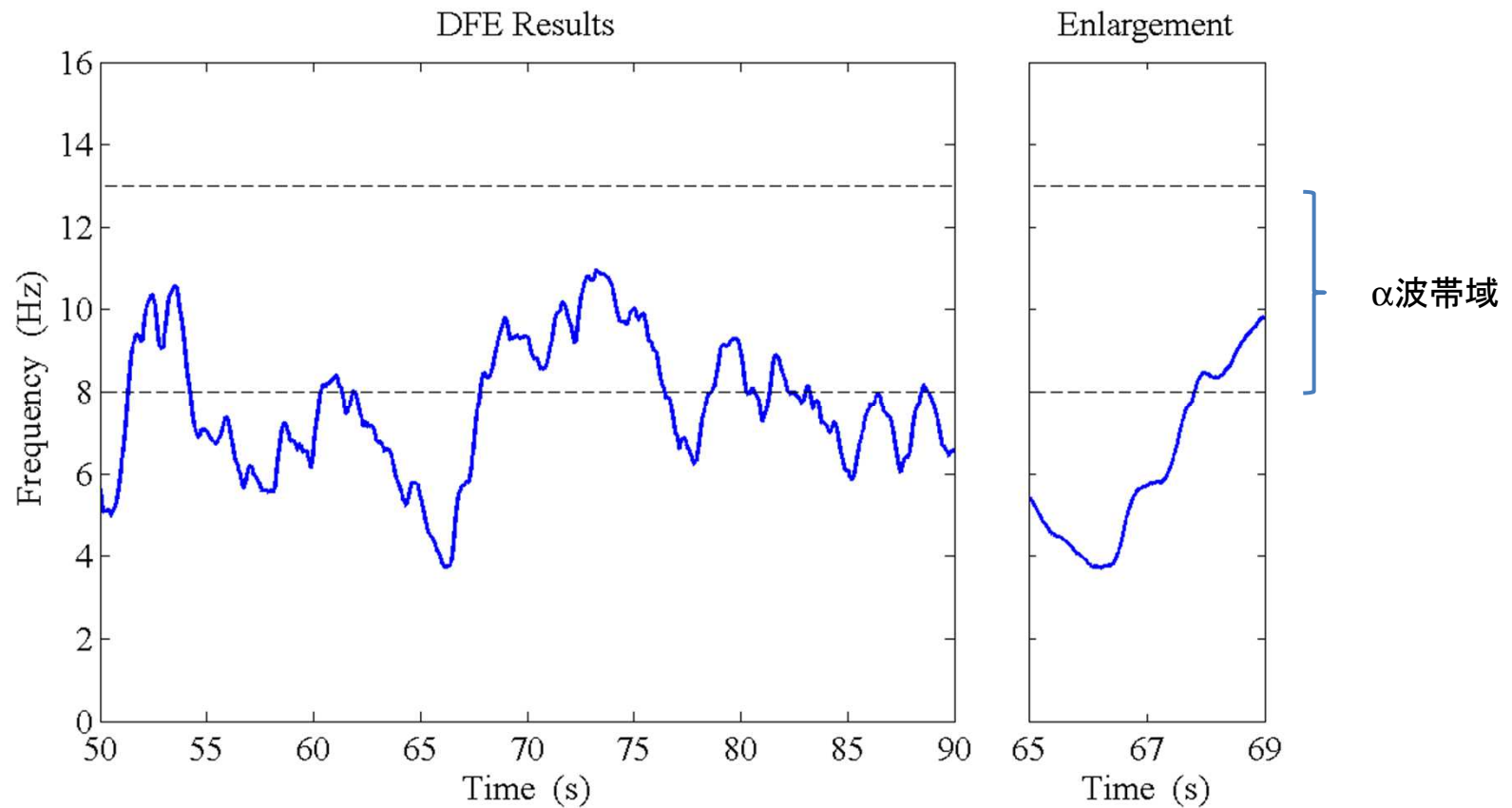


DFE + 平滑化フィルタ適用結果



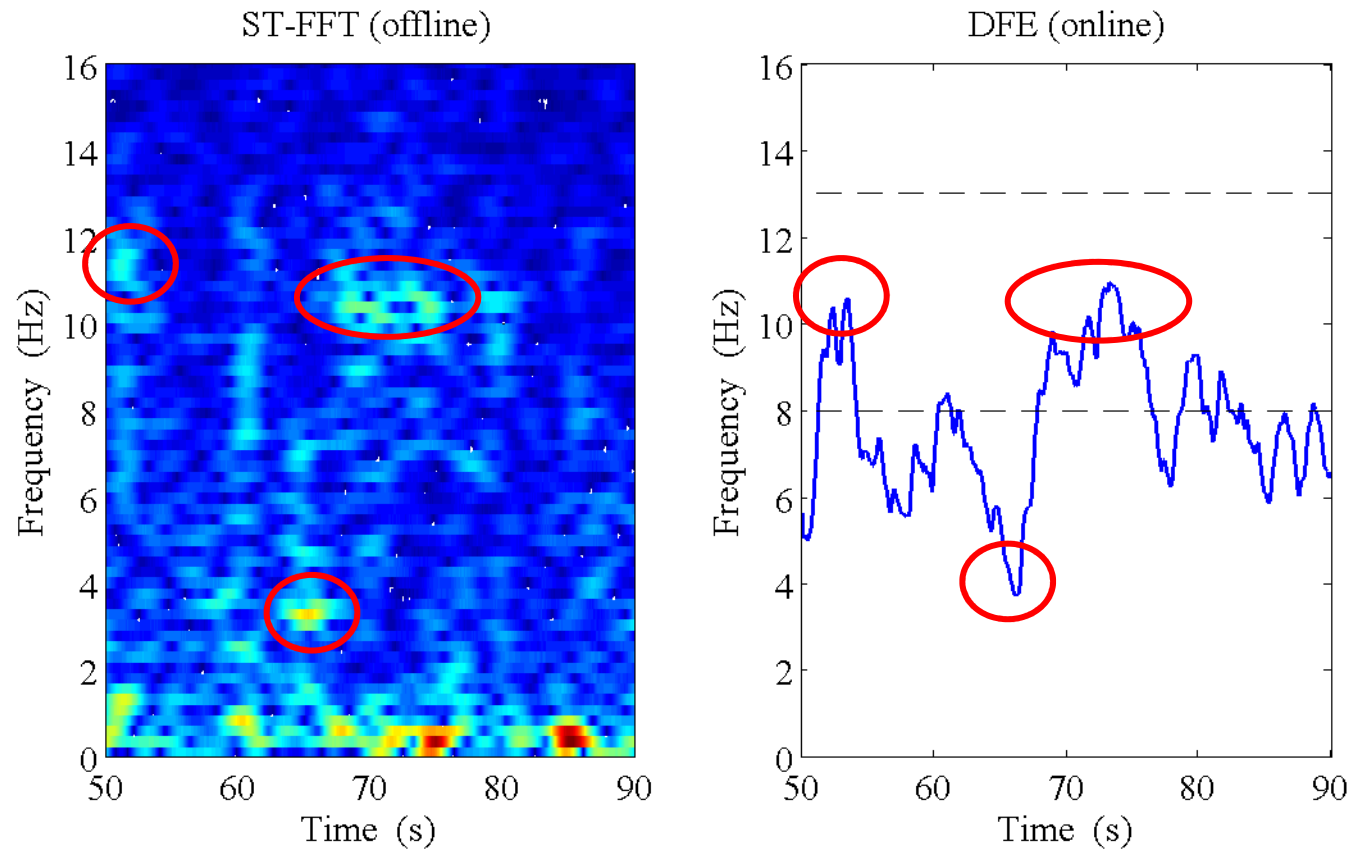
DFEへの平滑化フィルタ適用結果:スパイクノイズが低減されα波が推定されている

DFE + 平滑化フィルタ適用結果



DFEへの平滑化フィルタ適用結果:スパイクノイズが低減されα波が推定されている

短時間フーリエ変換との比較



短時間フーリエ変換では波形の濃淡から医師が α 波の存在を確認するのに対し、DFEでは周波数が数値として提示できるため、客観性に富む。

演算時間

- DFEはリアルタイムに推定可能
 - ただし, 今回はofflineで処理

従来法 (ST-FFT)	提案法 (DFE)
2.35(s)	0.55(s)

- 単純比較でDFEは4.27倍高速
 - 実際はST-FFTの周波数分解能をDFEに一致させて評価する必要がある, その差は増すばかりである.
 - DFEは周波数を数値で与えるのに対し, ST-FFTは波形を与えるため, 数値化処理が必要である.

アプリケーション

- ドライビングモニター
 - － 脳波を監視し、傾眠か覚醒かを評価
- 運動アシスト
 - － 筋電を解析し、熟達者とトレーニング中に比較
- 産業事故防止
 - － 頭部動揺を監視し、転倒事故リスクを評価

お問い合わせ先

九州工業大学

イノベーション推進機構 産学連携・URA領域

知的財産部門 客員教授 安東 静

TEL: 093-884-3499

FAX: 093-884-3531

E-Mail: ando@ccr.kyutech.ac.jp